

مقاله علمی-پژوهشی

پایش چند شاخصی خشکسالی کشاورزی در شهرستان کرمانشاه

فرزانه ایمانی بوژانی^۱، مریم کیانی صدر^{۲*}، سهیل سبحان اردکانی^۳، بهاره لرستانی^۴، مهرداد چراغی^۵

تاریخ دریافت: ۱۴۰۱/۰۲/۲۵ تاریخ پذیرش: ۱۴۰۱/۰۳/۳۱

چکیده

بررسی روند مکانی-زمانی خشکسالی که با روند کند و عوامل بوجود آورنده متعدد بر کشاورزی و تأمین غذای مردم اثر می‌گذارد، الزامی است؛ بنابراین پژوهش حاضر باهدف ارزیابی خشکسالی کشاورزی در شهر کرمانشاه با بکارگیری شاخص‌های ماهواره‌ای (میانگیری تصاویر ماهواره‌های Landsat8 و Sentinel2 در فصل رشد) و زمینی (با استفاده از داده‌های بارش و دما از سال ۱۳۶۹ تا ۱۳۹۹) انجام شد. تاییج شاخص‌های زمینی حاکی از عدم وجود خشکسالی در سال‌های ۱۳۸۱، ۱۳۸۶، ۱۳۹۷، ۱۳۹۸ و ۱۳۹۹ است. SPEI ۱۲ و ۲۴ ماهه سال ۱۳۸۰ و ۱۳۸۴ از ۱۳۹۶ و ۱۳۹۴؛ از دیاد دمای سطح زمین و در سال ۱۳۹۸ (افزایش رطوبت زمین و خشکی دمایی گیاه) و ۱۳۹۹ افزایش تراکم گیاهان را برآورد کرد. کاهش عملکرد چمن‌فرنگ در سال‌های ۸۲ تا ۸۵ و افزایش در سال‌های ۸۸ تا ۹۱/۹۰ و ۹۱/۹۹ موید نتایج بالاست. در نواحی شمال، شمال شرقی و شرق؛ درجه حرارت بالا و میزان بارندگی و رطوبت کم، خاک را خشک و بر رشد، سلامت و تراکم گیاهان اثر منفی گذاشتند اما ناحیه جنوب همیشه مرتبط بوده است. وجود خشکسالی در دوره مطالعه مشهود و تصاویر سنتیل دو از حساسیت بیشتری درباره شاخص‌های گیاهی برخوردار بودند.

واژه‌های کلیدی:

خشکسالی، سنتیل دو، کشاورزی، کرمانشاه، لندست هشت

مقدمه

بسیار است. خشکسالی را بر پایه جایگاه علل آن در آب کره و چرخه آب به چهار نوع تقسیم کرده‌اند که با ابزار و شیوه‌های گوناگونی بررسی و اندازه‌گیری می‌شوند. خشکسالی‌ها با؛ کمبود بارش بسته به گستره و نیاز منطقه (خشکسالی هواشناسی) (Zhang et al., 2021)، کاهش یا فقر پوشش گیاهی در فصل رشد به علت کاهش رطوبت زمین (خشکسالی کشاورزی) (Wu et al., 2017)، کاهش دبی رودخانه‌ها و سطح آب‌های جاری و زیرزمینی (خشکسالی هیدرولوژیکی) (Wang et al., 2020a) و ناهنجاری و عدم تناسب بین عرضه و تقاضای آب (خشکسالی اجتماعی- اقتصادی) تعریف شده‌اند (Zheng et al., 2020a). از این میان، کشاورزی به علت نقش بارزش و مستقیمی که در گسترش اقتصادی-اجتماعی و سلامت جسمی و روانی ساکنان زمین دارد (که اغلب تحت تأثیر فعالیت‌های انسانی بوجود آمده یا تشدید می‌شود) دارای اهمیت بیشتری است (Wang et al., 2022). گرچه مناطق آسیب‌پذیر از این پدیده، بیشتر در اقلیم‌های خشک و نیمه‌خشک واقع شده‌اند (مانند ایران که در کمربند خشک و نیمه‌خشک در سطح زمین قرار دارد؛ اما آمارها٪ ۴۰ آسیب‌ها را متعلق به مناطق مربوط و نیمه‌مربوط نشان می‌دهند (Wu et al., 2017). با وجود اینکه شهر کرمانشاه منطقه‌ای نیمه‌مربوط است؛ در مناطق مشابهی عواملی مانند استفاده زیاد از کودهای کشاورزی، کاشت فرآورده‌های با نیاز زیاد به آب و تناب و

خشکسالی کمبود منابع گوناگون آبی نسبت به شرایط بهنجار هر اقلیم خاص که در مدت زمان زیادی پایش شده تعریف می‌شود (Zeng et al., 2022). این رویداد، دارای اثرات منفی روشن بر اقتصاد (Hereher et al., 2022)، منابع آبی (Masroor et al., 2022)، محیط‌زیست (Wu et al., 2022)، حمل و نقل (Chatterjee et al., 2022)، سلامت جسمی و روانی و مناقشات سیاسی و اجتماعی بوده و رویدادی چندبعدی با علل

- ۱- دانشجوی دکترا، گروه محیط زیست، دانشکده علوم پایه، واحد همدان، دانشگاه آزاد اسلامی، همدان، ایران
 - ۲- استادیار، گروه محیط زیست، دانشکده علوم پایه، واحد همدان، دانشگاه آزاد اسلامی، همدان، ایران
 - ۳- استاد، گروه محیط زیست، دانشکده علوم پایه، واحد همدان، دانشگاه آزاد اسلامی، همدان، ایران
 - ۴- دانشیار، گروه محیط زیست، دانشکده علوم پایه، واحد همدان، دانشگاه آزاد اسلامی، همدان، ایران
 - ۵- دانشیار، گروه محیط زیست، دانشکده علوم پایه، واحد همدان، دانشگاه آزاد اسلامی، همدان، ایران
- (Email: mkianysadr@iauh.ac)
DOI: 20.1001.1.20087942.1401.16.4.9.2
نويسنده مسئول: (*)

شناخته شده زمینی و سنجش از دور برای اندازه گیری رطوبت و دمای خاک، سلامت و تراکم پوشش گیاهی و میزان بارش باران و تبخیر و تعرق استفاده شد. زیرا تلفیق شاخص بارش-تبخیر و تعرق استاندارد شده و شاخص بارش استاندارد شده؛ همبستگی بین شاخص های خشکسالی، هواشناسی و رطوبت خاک را بهبود می بخشد (Afshar et al., 2022). در اغلب پژوهش ها از شاخص های کمی برای ارزیابی خشکسالی و اثر آن بر فرآورده های کشاورزی استفاده شده؛ که با توجه به متعدد بودن عوامل بوجود آورده خشکسالی؛ چنین نتایجی قابل انتکا نیست. خلاصه دیگر عدم استفاده هم زمان از شاخص های ماهواره ای و زمینی و تفسیر نارسانی نتایج شاخص ها که پیدا کردن تفاوت در نتایج را دشوار کرده و دربر گیرنده اطلاعات زیادی نیستند؛ حال این کمیود در این پژوهش مرتفع شده است. از آنجاکه چندر قند منبع تأمین قندو شکر کرمانشاه بوده و پرآبخواه است، کارکرد این فرآورده نسبت به سطح زیر کشت آن در سال های متمادی سنجیده شد. زیرا در نتایج پژوهش ابمیر و همکاران تفاوتی در سازگاری ژنتیک پهای چندر قند به تنش خشکی مشاهده نشده و با افزایش کارکرد ریشه، میزان قند در آنها کاهش یافته بود (Ebemyer et al., 2021). نامجویان و همکاران دلیل اصلی کاهش کارکرد شکر در مناطق نیمه خشک، کمیود آب دانستند که خشکسالی باعث کاهش زیاد کارکرد می شود (Namjoyan et al., 2021). با توجه به پیشینه ای که چکیده بررسی مقالات متعدد است، به اهداف پایش خشکسالی کشاورزی در کرمانشاه از تصاویر ماهواره های لندست^۱ و سنتینل^۲ با اعمال شاخص های SWI، LST، TVDI، VHI، SPI، TVDI، و شاخص های زمینی SPEI به همراه بررسی عملکرد چندر قند طی ۳۰ سال دوره مطالعه به عنوان شاهد موضوع استفاده شد. بکار بردن شاخص های زیاد و متنوع همراه با بررسی موضوع در تصاویر دو نوع ماهواره که هر یک مزایای متفاوتی دارد و همچنین ارزیابی عملکرد چندر قند که از اصلی ترین محصولات تولیدی در این منطقه است؛ وجه تمایز و نوآوری این پژوهش است.

مواد و روش ها

معرفی منطقه

شهر کرمانشاه (شکل ۱) در طول جغرافیایی ۴۷ درجه و ۴ دقیقه و عرض جغرافیایی ۳۴ درجه و ۱۶ دقیقه واقع شده و دارای وسعت ۷۹۸۳ کیلومتر مربع است. ارتفاع پست ترین نقطه آن ۱۴۰۰ متر از سطح دریا و دارای آب و هوایی معتدل تا مایل به سرد و نیمه خشک و نیمه مرطوب (اقليم نیمه خشک استپی خنک) با میانگین بارندگی ۴۷۷ میلی متر می باشد. این شهر در کنار کوه پراو با ارتفاع ۳۳۵۰ متر و در کنار رود قره سو قرار دارد. رود قره سو به همراه گاماسیاب، رود سیمره را بوجود آورده و از ۲۵ کیلومتری جنوب شرقی کرمانشاه

زراعی؛ خشک شدن خاک را تشید کرده (Zhang et al., 2017) و رقابت تنوع زیستی را در بین گیاه خواران بوجود آورده است. دویینی و همکاران در پژوهش خود به این نتیجه رسیدند که اگر خشکسالی طولانی شود، پوشش گیاهی در پیکره همگن خشک شده و با وجود بازگشت بارندگی و رطوبت زمین به حالت بهنجار، بازیابی نمی شود (Dubinin et al., 2021) نیز همبستگی زیاد VCI با SPI را در پایش خشکسالی کشاورزی حوضه آبریز کارون نشان داد. اگرچه برخی شاخص سلامت گیاه^۱ را برای تشخیص شدت خشکسالی مناسب تر از SPEI می دانند (Zeng et al., 2022; Hereher et al., 2022) اما به نظر هو و همکاران افزایش دمای سطح زمین^۲ در منطقه بیش از حد خشکی؛ کاهش بارندگی و تراکم پوشش گیاهی را در پی دارد (Hu et al., 2019). میلر و همکاران نیز از همبستگی بین چند شاخص LST، SPEI^۳ و NDVI^۴ در تصاویر لنده است برای تعیین کمیت تغییرات در تاج پوشش گیاهی در طول خشکسالی استفاده کردند و قویترین همبستگی بین SPEI و LST به NDVI را در طول تابستان برآورد کردند (Miller et al., 2022). برای ارزیابی خشکسالی هواشناسی، کشاورزی و هیدرولوژیکی در شمال بنگلادش از شاخص های رطوبت زمین^۵، NDVI^۶ و SPI^۷ استفاده شد و نتایج حاکی از خود همبستگی فضایی متوسط تا شدید شاخص های محلی با خشکسالی هواشناسی و همبستگی ضعیف تا متوسط برای خشکسالی Samiul Islam et al., (2022). از این میان شاخص رطوبت خاک به علت تغییر در ویژگی خاک، پوشش گیاهی و نوسانات آب و هوای متحول شده و بر تولید گیاهان و فراسایش خاک اثر می گذارد و مقادیر کم خشکسالی را نشان می دهد (کوهبنایی و یزدانی، ۱۳۹۷؛ Liang et al., 2014) حمزه و همکاران (۱۳۹۶). شاهمرادی و همکاران (۱۴۰۰) رطوبت خاک سطحی را با شاخص LST و NDVI در طی سه بازه زمانی در جنوب آذربایجان غربی و غرب ایران سنجیدند و دریافتند که نتایج تصاویر ماهواره ای از دقت بیشتری نسبت به داده های زمینی برخوردار بوده و سال ۱۳۹۶ کاهش TVDI و افزایش دو شاخص دیگر را در پی داشته است. این شاخص اطلاعات مکانی بهتری ضبط می کند (Ji et al., 2021). به اعتقاد ولنجی و همکاران برای مشخص کردن خشکسالی کشاورزی روش یکسان و جامعی وجود ندارد (Wolteji et al., 2022) و از آنجاییکه در ایران نیز مطالعه جامعی در این مورد انجام نگرفته است؛ برای تشخیص مدت زمان و مکان خشکسالی کشاورزی با توجه به در کمین بودن چنین آسیبی از تلفیق شاخص های

1- VHI: Vegetation Health Index

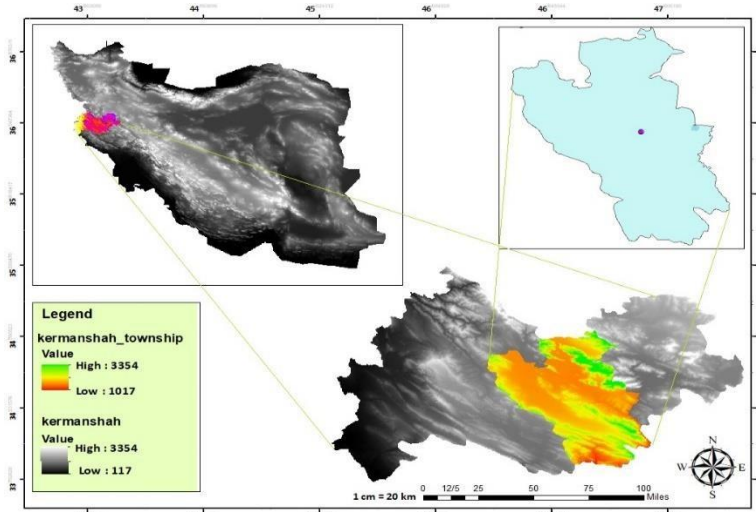
2- LST: Land Surface Temperature

3- NDVI: Normalized Difference Vegetation Index

4- SWI: Standardized Water-Level Index

غرب به شرق است. همچنین متوسط سالانه دما $14/2$ سانتیگراد است (صیدایی و رستمی، ۱۳۹۱).

می‌گذرد. رژیم آب و هوایی این شهر پیکره‌های کم‌فشار مدیترانه‌ای تشکیل می‌دهد. جهت باد نیمه دوم پاییز و کمابیش در تمام زمستان از سمت جنوب شرقی به شمال غربی و دیگر روزهای سال از سمت



شکل ۱- موقعیت کرمانشاه و ایستگاه سینوپتیک در استان و کشور

ستینل دو اعمال شد. پردازش شاخص‌های طیفی بر روی تصاویر ماهواره‌ای در سامانه تحت وب گوگل ارث‌انجین و در فصل رشد که در کرمانشاه از آغاز اسفند تا پایان مرداد است، انجام شد. الگوی رقومی ارتفاع نیز با استفاده از رستر 10 متری به همراه نقشه طبقه‌بندی شده حاصل از شاخص‌های ماهواره‌ای در سامانه اطلاعات جغرافیایی بدست آمد. سپس نقاط داغ خشکسالی شدید در نقشه‌ها شناسایی شد و در پایان؛ میزان سطح زیر کشت و کارکرد چندرقد در برنامه اکسل با نتایج شاخص‌های یادشده مقایسه شد. فرمول شاخص‌ها و منابع و مفهوم آنها در جدول (۱) آورده شده است.

نتایج و بحث

نتایج بررسی انجام شده نشانگر آن بود که ترکیب شاخص‌های ماهواره‌ای و زمینی توانست بین سال‌های خشکسالی و غیرخشکسالی تمایز قائل شود. بر پایه نتایج شکل ۲؛ شاخص SPI اغلب سال‌های مطالعه را دچار خشکسالی نشان داد؛ اما سال‌های ۱۳۸۱، ۱۳۸۶ و ۱۳۹۷ در هیچ یک از دوره‌ها در معرض خشکسالی نبوده‌اند. شاخص SPI در شکل ۲؛ نشان داد که سال‌های ۱۳۹۸، ۱۳۹۷، ۱۳۸۶، ۱۳۸۱ در هیچ‌کدام از ماه‌های دوره مطالعه (به استثنای یک ماه) در معرض خشکسالی نبوده‌اند. شکل ۲ نشان می‌دهد که اغلب ماه‌های دوره مطالعه در وضعیت عادی از نظر خشکی و رطوبت بوده‌اند و خشکسالی بسیار شدید فقط در نتایج ۱۲ و ۲۴ ماهه شاخص SPI در شهریور تا آغاز اسفند ۱۳۸۰ مشاهده شد. نتایج ۲۴ ماهه SPI نیز

روش انجام پژوهش

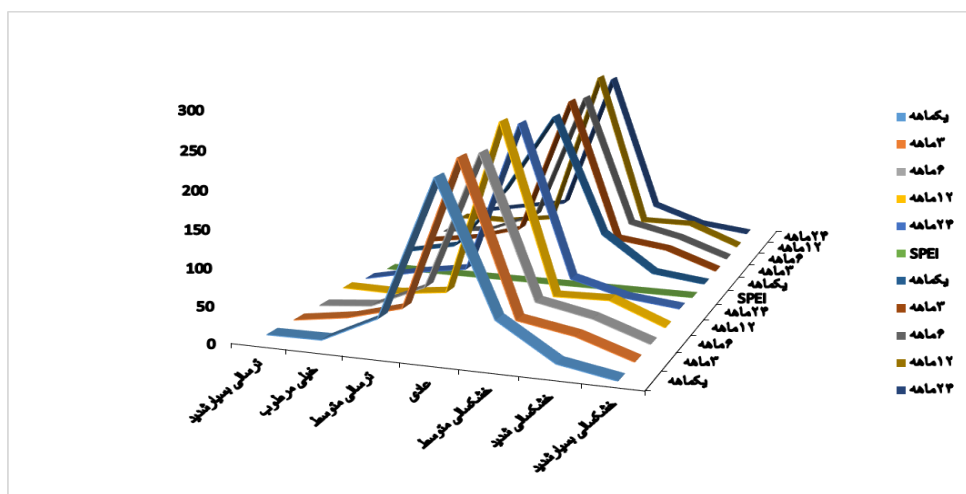
در این مطالعه، واکاوی داده‌های هواشناسی و هیدرولوژیکی برای پایش خشکسالی کشاورزی شهرستان کرمانشاه برای سال‌های ۱۳۶۹ تا ۱۳۹۹ انجام شده است. تجزیه و تحلیل پویای خشکسالی زمانی و مکانی در طول فصل رشد از طریق نمودارهای شاخص SPI و SPEI در محیط RStudio نسخه ۱.۴.۱۷۱۷ انجام شد. اطلاعات بارش و دما برگرفته از ایستگاه همدیدی کرمانشاه و از سازمان هواشناسی کرمانشاه اخذ گردید. نتایج شاخص‌های زمینی در بهترین توزیع زمانی (۱، ۳، ۶، ۱۲ و ۲۴ ماهه) استخراج گردید. برای تشخیص دقیق تر و پوشاندن ضعف‌های شاخص‌های زمینی به دلیل ثبت نامنظم داده‌های بارش و دما و فاصله زیاد ایستگاه‌های هواشناسی از یکدیگر، از سنجش از دور استفاده شد. البته محدودیت سنجش از دور نیز این است که تصاویر اغلب ماهواره‌ها می‌تواند خشکسالی و جمیع شواهد آنرا در گستره زمانی کمی بررسی کند. گزینش سنجنده‌ها نیز باتوجه به کاربردشان در سنجش فاکتورهای پایش خشکسالی بوده است. به عنوان مثال تصاویر ماهواره لندست هشت دارای پهنای (180×180) کیلومتر و قدرت تفکیک زمانی 16 روز (نحوی نژاد و همکاران، ۱۳۹۸) با وضوح 30 متر (Gong et al., 2013) و وضوح فضایی یک کیلومتر بوده و توان تفکیک برای محدوده موردمطالعه مناسب است؛ اما تصاویر ستینل دو دارای توان تفکیک زمانی 5 روز (Languiille et al., 2017) و مکانی 10 متر است (لوییمی و همکاران، ۱۳۹۸). حال باتوجه به تفاوت‌های ذکر شده؛ شاخص‌های ماهواره‌ای روی تصاویر سنجنده ETM ماهواره لندست هشت و سنجنده MSI ماهواره

دوره‌ها؛ بیشتر بوده است.

اواسط فروردین تا اردیبهشت ۱۳۷۸ را در رده خشکسالی بسیار شدید تخمین زده است. بر اساس شکل ۲ تعداد ماههای عادی در همه

جدول ۱- شاخص‌های به کاررفته برای ارزیابی خشکسالی کشاورزی

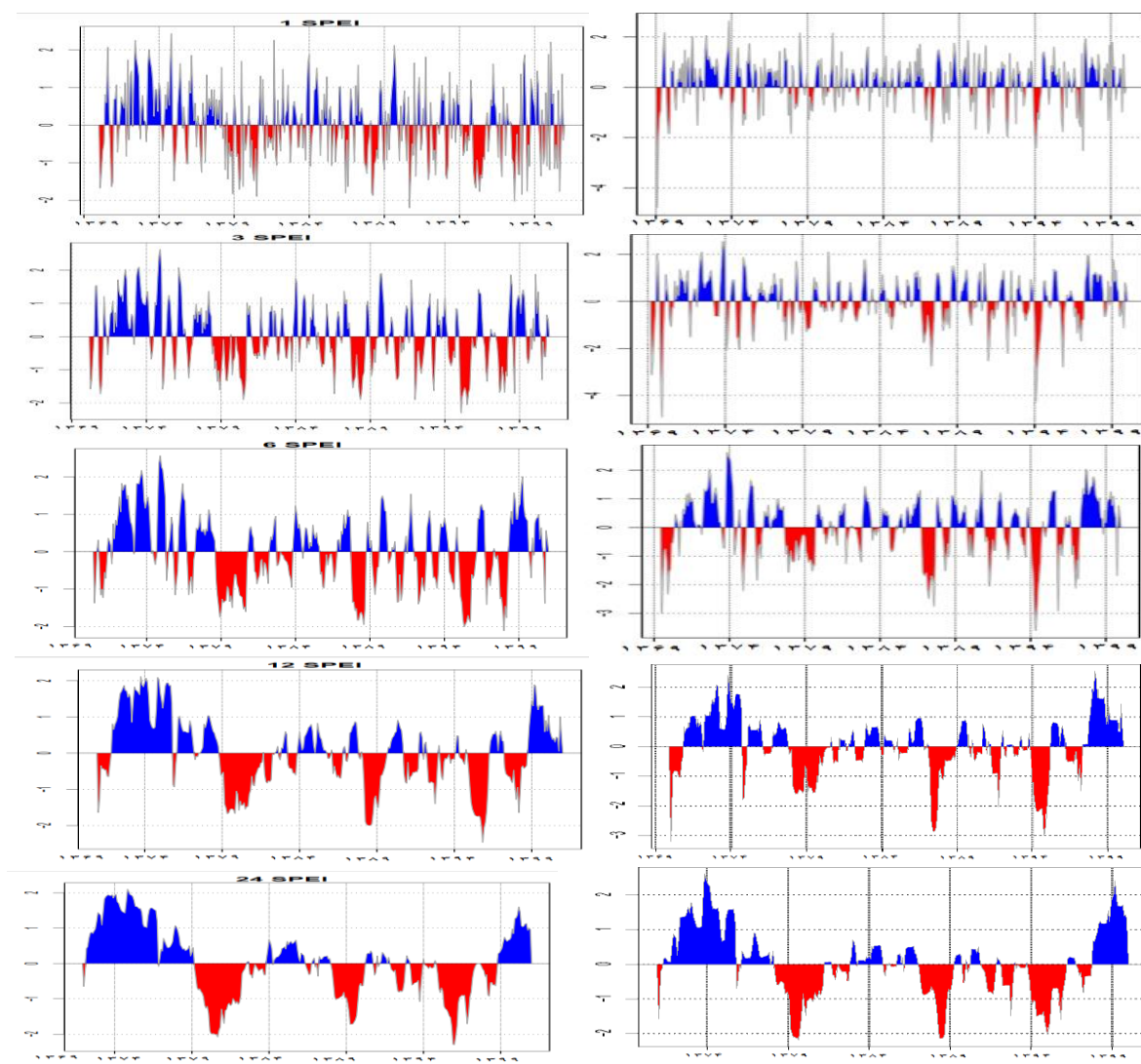
شاخص‌ها	اختصار	رابطه	منبع
سلامت گیاه	VHI	$VHI = a \times VCI + (1-a) \times TCI$	Karnieli et al., 2010
تراکم پوشش گیاهی	NDVI	$NDVI = \frac{NIR - Red}{NIR + Red}$	Rouse et al., 1974
خشکی دمایی گیاه	TVDI	$TVDI = \frac{T_s - T_{s\min}}{T_{s\max} - T_{s\min}}$	Sandholt et al., 2002
دمای سطح زمین	LST	$LST = \frac{T_B}{1 + (\lambda \times T_{B/\rho})^{\ell ne}}$	Weng et al., 2004
رطوبت زمین	SWI	$SWI = \frac{T_{\max(i)} - T_{\min(i)}}{T_{\max(i)} - T_{\min(i)}}$	Holzman et al., 2014
بارش استاندارد شده	SPI	$SPI = \frac{X_i - X}{S}$	Mc.Kee, 1993
بارش - تبخیر و تعرق استاندارد شده	SPEI	$D = P_i - PET_i$	Vicente-Serrano et al., 2010



شکل ۲- مقایسه ماههای خشک و مرطوب در SPI و SPEI

می‌شود فراوانی دوره‌های خشک و مرطوب کمتر می‌شود و تغییرات دوره‌ای واضح‌تر می‌شود (Geng et al., 2022). سال‌های ۱۳۷۹ و ۱۳۸۰ دارای بیشترین تداوم خشکی بوده‌اند. اغلب طوفان‌های بارانی در ماه آوریل (اواسط فروردین تا اردیبهشت) رخ می‌دهد این پدیده در اوخر اسفند (Atif et al. 2020) تا اوخر فروردین سال ۱۳۹۸ (۲۰۱۹) به در ایران و کرمانشاه همسو با تحقیق al (Mehravar et al. 2021) به وقوع پیوست. طوری که میزان بارندگی در آن سال $440/3$ میلی‌متر گزارش شده و علت گزارش شدن این سال به عنوان ترسالی شدید همین بوده است. برخلاف پژوهش Bera et al (2021) طبق شکل (۳)؛ نتایج SPI خشکسالی را بیشتر از SPEI نشان داد و پژوهش‌ها تأیید نمود که بطور کلی سده (۲۱) (۱۴ میلادی) هجری شمسی دچار آسیب خشکسالی در مدت‌زمان طولانی باشد و فراوانی زیاد بوده است (Jiang et al., 2022).

دوره‌های زمانی مشترک در شاخص SPI عبارتند از: ترسالی شدید ۱۳۹۷ و ۱۳۹۸، سال‌های خلی مطری ۱۳۸۸ و ۱۳۸۹ ترسالی متوسط ۱۳۷۶ و ۱۳۹۳؛ خشکسالی متوسط ۱۳۷۱، ۱۳۷۷، ۱۳۷۸ و ۱۳۹۱ و ۱۳۹۰؛ خشکسالی شدید ۱۳۷۰ و ۱۳۷۸. دوره‌های زمانی مشترک در شاخص SPEI عبارتند از: ترسالی شدید ۱۳۹۷ و ۱۳۹۸، سال‌های خلی مطری ۱۳۸۸ و ۱۳۸۹ و ۱۳۸۷ که در نتایج یک، سه و شش‌ماهه مشترک بوده است. ترسالی متوسط ۱۳۷۶ و ۱۳۹۳ و ۱۳۹۴؛ خشکسالی متوسط ۱۳۷۱، ۱۳۷۸، ۱۳۷۹، ۱۳۷۰ و ۱۳۸۰ و ۱۳۹۱؛ خشکسالی شدید ۱۳۷۸ سپس ۱۳۷۰ و ۱۳۸۰ بوده‌اند. خشکسالی در سال‌های (۱۹۹۲)، (۱۹۹۸)، (۱۹۷۱)، (۱۳۷۷) و (۲۰۰۰) ترسالی در ماههای (۱۹۹۲)، (۱۹۹۸)، (۱۹۷۱)، (۱۳۷۷) و (۲۰۰۰) (Mehravar et al., 2021) تیر و مرداد و در زمان اوج رشد گیاه بوده و کمترین آسیب بوم شناختی را داشته است (Li et al., 2022). هرچه مقیاس زمانی بیشتر



شکل ۳- تفاوت سی ساله ایستگاه سینوپتیک کرمانشاه در دوره سی ساله SPEI و SPI

خشکسالی معرفی نمود.

طبق نقشه های شکل (۴) شاخص دمای سطح زمین در سال های (۲۰۱۴ و ۱۳۹۲) از دیگر سال ها کمتر بوده اما به طور کلی شمال و شمال شرق افزایش دمایی بیشتر از سایر نقاط و مرکز منطقه دمای پایین تری را نشان داد. نتیجه اینکه سلامت گیاه تحت اثر و شرایط گرمایشی سطح زمین بوده و پوشش گیاهی تنفس حرارتی زیادی را تجربه کرده است (Jiang et al., 2022). برخلاف نتیجه تحقیق جاود و همکاران، شاخص سلامت گیاه دقت خوبی برای تعیین سال های خشکسالی با توجه به وضعیت سلامت گیاه دارد (Javed et al., 2021). پوشش گیاهی به وسیله افزایش تبخیر و تعرق، از مقدار LST می کاهد (Soer et al., 1980); بنابراین رابطه مقابلي بین میزان اين شاخص با مقدار تبخير و تعرق گیاه و سطح

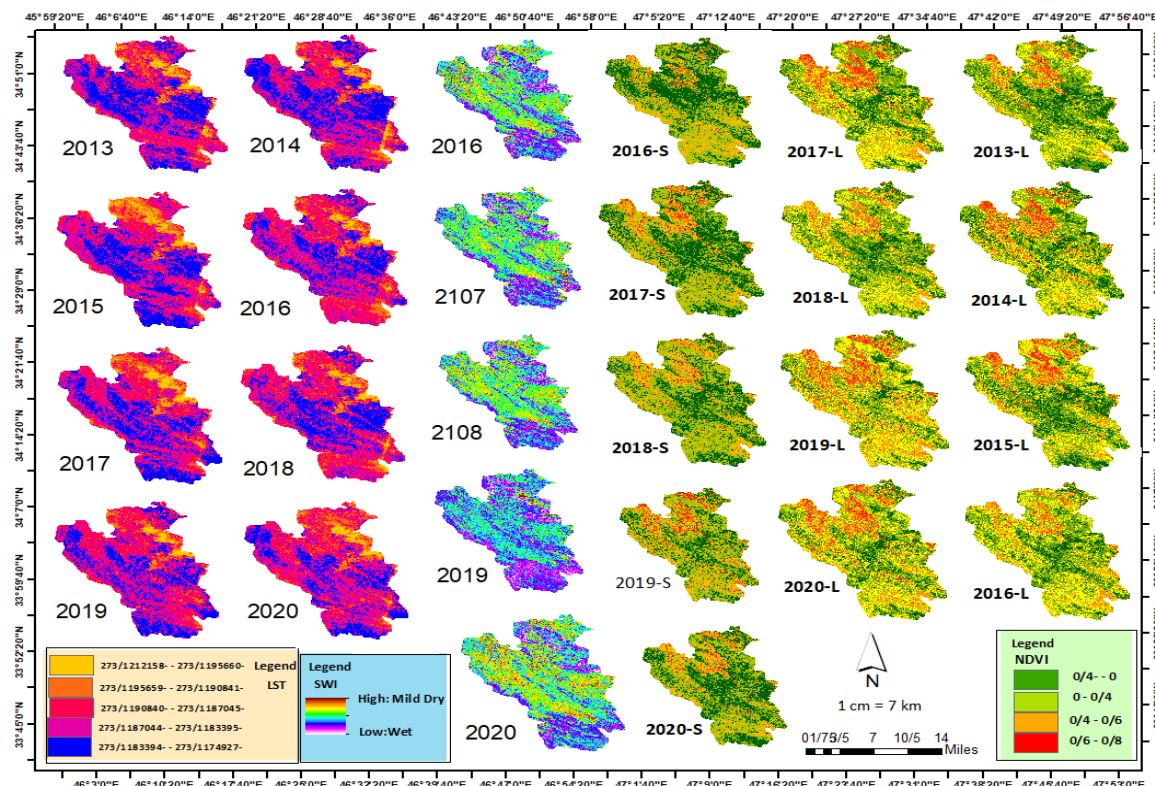
نقشه شاخص LST (شکل ۴) بیانگر آن بود که در سال های (۲۰۱۵ و ۱۳۹۴) و (۲۰۲۰ و ۱۳۹۶) و سپس (۲۰۲۰ و ۱۳۹۵) دمای سطح زمین بالا بوده و شاخص VHI (شکل ۵) نیز مؤید همين نتیجه است. به اعتقاد ژانگ و همکاران شاخص خشکسالی حضور LST و NDVI انتخاب بهتری برای تشخیص خشکسالی است (Zhang et al., 2017). این نتیجه همبستگی بالايی با نتایج SPEI و SPI يك، سه و ششماده داشت. سال ۱۳۹۶ نیز وضعیت عادی (به استثنای مرکز منطقه که همچنان دچار خشکسالی متوسط تا زیاد است) داشته است. افزون بر این سال های (۲۰۱۳ تا ۱۳۹۹) به استثنای سال ۱۳۹۶ نیز تمام رده های خشکی را دربرگرفته و اين امر باعث کاهش چشمگير سلامت گیاه در شمال شرقی منطقه شده و (۲۰۱۶) را مستعدترین سال برای

پوشش گیاهی است (Hereher et al., 2022). در تصاویر سنتینل دو همانند نتیجه پژوهش ایکسی و همکاران مناطق تحت تأثیر خشکسالی گسترش‌تری را مشاهده کرد (Xie et al., 2021); اما تصاویر لندست هشت بخلاف نتایج تحقیق مذکور بود. یکی از نکات قابل توجه در ارتباط بین NDVI و LST این است که با بالا بودن دمای سطح زمین هم‌زمان با تراکم کم گیاهان بوده اما لزوماً پایین بودن دمای سطح زمین بر افزایش تراکم گیاهان اثر چندانی نداشته است و با نتیجه (He et al ۲۰۲۰) در تضاد بود که افزایش NDVI روند چرخشی را در مقابله LST نشان داده است.

شاخص SWI در شکل (۴)؛ رطوبت زمین را در سال (۲۰۱۹) ۱۳۹۸ زیاد (مطابق مقادیر SPI و SPEI همچوی دوره‌های زمانی) و خشکی زمین در سال‌های (۲۰۱۸) و (۲۰۲۰) ۱۳۹۷ و ۱۳۹۹ (Mehravar et al., 2021) نیز سال سایر سال‌ها نشان داد که نتایج (Mehravar et al., 2021) در همه سال ۲۰۱۹ را دارای کمترین خشکسالی سالانه برآورد کردند. در همه سال‌ها قسمت جنوب منطقه همیشه مرطوب بوده است. مرکز و شرق این ناحیه بیشتر از همه نقاط به خشک یا ترسالی حساس بوده است. در قسمت شرق کرمانشاه که به طرف مناطق گرمسیر کشیده می‌شود؛ درجه حرارت بالا و رطوبت و میزان بارندگی کم؛ خاک را خشک کرده بر رشد گیاهان اثر منفی می‌گذارد (Chen and Chenr., 2018).

Miller et al., (2022) برگ با توجه به نوع محصول زراعی برقرار است (Miller et al., 2022).

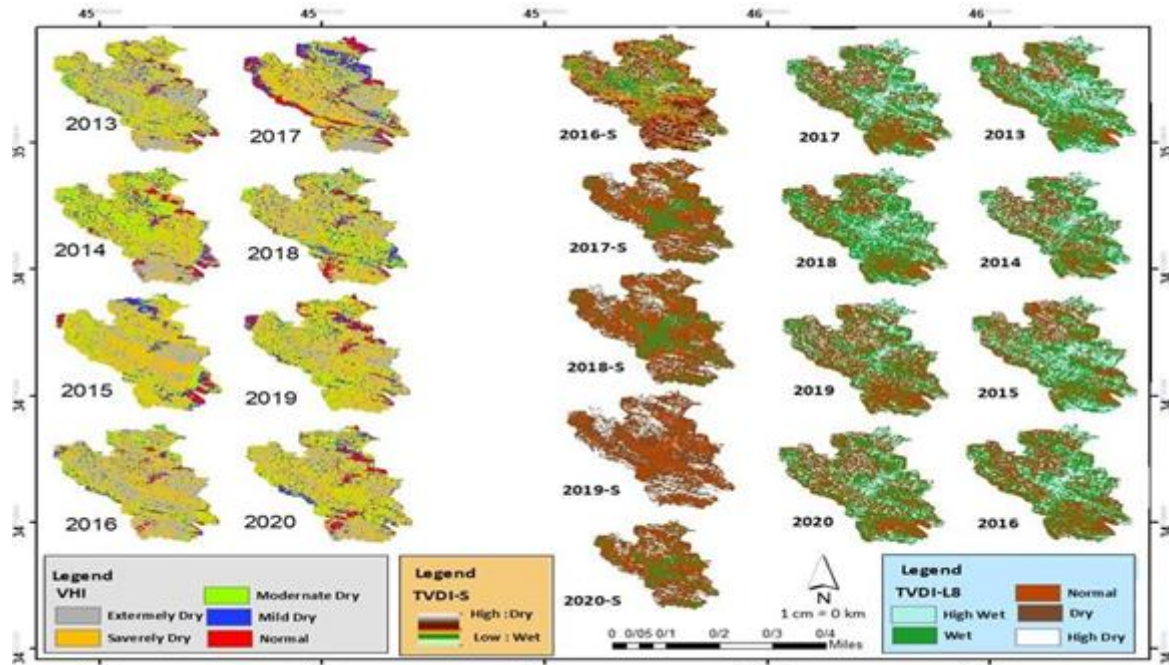
شاخص NDVI (طبق شکل ۴) در تصاویر ماهواره سنتینل دو به طور کلی شرایط را خشک و تراکم پوشش گیاهی را نامطلوب نشان داده است؛ اما در تصاویر لندست هشت در همان شکل؛ سال‌های (۲۰۱۹) و (۲۰۲۰) در شرایط مرطوب و گیاهان متأثر از رطوبت زمین، افزایش تراکم نشان دادند (Mehravar et al., 2021). این مطلوبیت در ناحیه شمال و شمال‌غربی بیشتر است. نتایج SPEI همه دوره‌ها، تأییدکننده این نتیجه است. شکل ۴ سال (۲۰۱۴) (۲۰۱۹) و (۲۰۱۷) در تصاویر سنتینل دو تراکم پوشش گیاهی را بیشتر نشان داد. اما سال (۲۰۱۳) و (۲۰۱۵) در تصاویر لندست هشت کم تراکم تر بوده (شکل ۴) و در تصاویر سنتینل دو؛ سال (۲۰۱۶) و (۲۰۱۷) (۲۰۱۹) کم تراکم تر از سایر سال‌ها نمایان شد که کم تراکم گیاهان در سال ۹۶ با نتایج SPEI یک‌ماهه و سال ۱۳۹۵ با SPI و SPEI یک، سه و شش‌ماهه مشابه بودند. این تراکم پایین در نواحی شمال و مرکز منطقه بیشتر مشهود است. نوسان مقدار NDVI بیشتر در حیطه ۰/۰۵- بوده اما گاهی به حداقل ۰/۱- نیز رسیده است. مقدار کمتر از ۰/۲- خاک‌های لخت و بدون پوشش را نمایان می‌کند و مقادیر بیشتر از این حد نشان دهنده



شکل ۴- میانگین شاخص‌های LST، SWI و NDVI در فصل رشد با استفاده از تصاویر ماهواره‌ای لندست و سنتینل ۲

میزان دمای سطح زمین نیز تغییر پیدا می‌کند (Guha and Govil., 2021). از مقایسه نتایج حاصل از تصاویر ماهواره‌ای لندستهشت و سنتینل دو به این نتیجه رسیدیم که تصاویر سنتینل دو نسبت به لندستهشت از حساسیت و وضوح بیشتری در مورد شاخص‌های گیاهی برخوردار است و برای پایش و دسته‌بندی پوشش گیاهی مناسب‌تر هستند (Barneston et al., 2019).

رابطه بین تراکم پوشش گیاهی و دمای سطح زمین نشان می‌دهد با بالارفتن دمای زمین از تراکم گیاهان کاسته می‌شود و این تنفس گیاهی در کشاورزی باعث بوجود آمدن خشکسالی می‌شود. البته نمی‌توان این ارتباط را به قطعیت تأیید یا رد کرد (Oroud., 2021). قابل توجه است که اراضی دیم بیشتر به بالا یا پایین بودن درجه حرارت حساس هستند (He et al., 2020). با تغییر پوشش زمین



شکل ۵- میانگین شاخص‌های VHI و TVDI در فصل رشد با استفاده از تصاویر ماهواره‌های لندست ۸ و سنتینل ۲

زیاد در سال ۱۳۹۸ است. در تصاویر (۲۰۱۹) ۱۳۹۸ ماهواره سنتینل دو خشکی دمایی گیاهان نمود بیشتری یافته اما سال (۲۰۱۶) ۱۳۹۵ از وضعیت بسیار مطلوبی برخوردار بوده است. نتیجه کلی اینکه ناحیه غرب نقشه از رطوبت بیشتر و خشکی دمایی گیاهی کمتری برخوردار بوده است و برآورد خشکی دمایی کم گیاهان در این شاخص بیشترین تطابق را با نتایج VHI و LST داشت؛ اما چشمگیر نبود. البته این شاخص بهتر است برای مناطقی با تغییرات دمایی و پوشش گیاهی قابل توجه بکار گرفته شود (He et al., 2020).

از لحاظ آگروکلیمایی گیاه چندرقد بر اساس روش قابلیت گرمایی از ماه فروردین تا اواخر ماه آبان در منطقه جزء ماههای پویا از نظر کشاورزی محسوب می‌شوند و بر اساس آستانه‌های دمایی مراحل فنولوژیک گیاه چندرقد تقویم اقلیمی در منطقه به صورت تاریخ کشت محصول در اواسط فروردین ماه و برداشت آن اواخر شهریور تا آبان ماه است (حلیمان و همکاران، ۱۳۹۲). میزان نیاز به آب ۸۴۲ میلیمتر (Uygan et al., 2021) و نیاز به آبیاری هر ۸ تا ۱۰ روز

بین نتایج شاخص‌های ماهواره‌ای و زمینی همگرایی وجود داشت و این مطالعه ثابت کرد که شاخص‌های بکار رفته مؤثر بوده و ابزار دقیقی برای نظارت و ارزیابی خشکسالی کشاورزی هستند (Alsaady et al., 2021). شاخص TVDI که بواسیله باندهای حرارتی، انعکاسی و رطوبت خاک محاسبه می‌شود (دهقانی تفتی و همکاران، ۱۳۹۷)، میزان خشکی دمایی گیاه در سال (۲۰۱۸) ۱۳۹۷ در تصاویر لندست هشت کم اما خشکی زمین بیشتر از دیگر سال‌ها بود. همچنین در تصاویر این ماهواره سال‌های (۲۰۱۳) و (۲۰۱۶) ۱۳۹۵ و (۲۰۱۶) ۱۳۹۶ رطوبت بیشتری داشته اما در سنتینل دو سال (۲۰۱۶) و (۲۰۱۷) از وضعیت مطلوبی برخوردار بود و با نتایج SPI و SPEI یک و سه‌ماهه تطابق داشت. شاخص TVDI (شکل ۵) در تصاویر ماهواره لندستهشت؛ خشکی دمایی گیاه در سال (۲۰۱۹) ۱۳۹۸ در تصاویر هر دو ماهواره بیشتر بود که با هیچ کدام از نتایج دیگر شاخص‌ها مطابقت نداشت. سال (۱۳۹۵) و (۱۳۹۷) (۲۰۱۶) و (۲۰۱۸) خشکی دمایی گیاه کمتری نشان داد. این نوسان به علت رطوبت زیاد و در عین حال تبخیر

بررسی‌های تاریخی شواهدی غیر از داده‌های بارش و دما استفاده شود. تصاویر ماهواره‌هایی که دقیق‌تر باشند برای پایش برخی شاخص‌ها دارند پشتونه تصویری طولانی‌مدتی نداشته و این محدودیت ما را از بررسی تاریخی روند خشکسالی بازمی‌دارد. علاوه‌بر آن سنجنده‌ای که تصاویر آن بتوانند فاکتورهای مؤثر بر خشکسالی کشاورزی را پوشش دهد و از لحاظ مکانی و زمانی و واضح تصاویر قابل رقبا نباشد ساخته نشده است؛ زیرا تصاویر سنتینل برای ارزیابی پوشش‌های گیاهی مناسب‌تر از لندست (علی‌رغم پیشینه طولانی‌تر) است. با این حال در برآورد برخی شاخص‌ها (LST و NDVI) بهتر است از تصاویر سنجنده مادیس که قدمتی طولانی‌تر دارد، استفاده کرد. علاوه‌بر آن برای کاهش اثرات خشکسالی بر عملکرد چندرقند بهتر است واریته‌های چندر علوفه‌ای که مقاومت به تنفس خشکی زیادی دارند کشته شوند.

سپاسگزاری

این مقاله مستخرج از رساله دکترای تخصصی رشته محیط‌زیست دانشگاه آزاد اسلامی واحد همدان با کد ۱۷۱۴۸۰۰۶۹۰۷۶۴۲۱۱۳۹۹۱۶۲۳۸۶۹۷۲ معاونت پژوهش و فناوری دانشگاه برای فراهم‌کردن امکانات انجام پژوهش سپاسگزاری می‌شود.

منابع

- حلیمان، ا.ح، خمری، ح. و علیقلی، س. ۱۳۹۲. ارزیابی شرایط آب‌وهوایی کشت چندرقند در شهرستان کرمانشاه. اولین همایش ملی جغرافیا. شهرسازی و توسعه پایدار. تهران.
- حمزه، س.، فراهانی، ز.، مهدوی، ش.، چترآبگون، ا. و غلام‌نیا، م. ۱۳۹۶. پایش زمانی و مکانی خشکسالی کشاورزی با استفاده از داده‌های سنجش از دور موردمطالعه: استان مرکزی ایران. نشریه تحلیل فضایی مخاطرات محیطی. ۴(۳): ۵۳-۷۰.
- جهانگیر، م.ج. و مشیدی، ض. ۱۳۹۹. ارزیابی پایش خشکسالی کشاورزی مبتنی بر سنجش از دور با استفاده از شاخص استاندارد شده بارش در ماه‌های رشد (مطالعه موردی: حوضه آبریز کارون بزرگ). آبیاری و زهکشی ایران. ۱۴(۴): ۱۲۵۲-۱۲۶۴.
- دهقانی تفتی، اع.، زارع، م.، حسینی، س.ز.، عربی. و علی‌آبادی، ف. ۱۳۹۷. تعیین ارتباط روند تغییرات خشکسالی با عناصر اقلیمی در دشت یزد-اردکان. نشریه مدیریت بیابان. ۱۳: ۱۳-۱۴.
- شاه مرادی، ص.، غفاریان مالمیر، ح. و امینی، م. ۱۴۰۰. استخراج شاخص رطوبت سطحی خاک (TVDI) با استفاده از نمودار

یکبار است. میزان کارکرد چندرقند از سال ۷۸ تا ۹۸ (۱۹۹۸ تا ۲۰۰۳)، کمتر از مقدار مورد انتظار بوده و مقاومت بوم‌سازگان نسبت به خشکسالی ضعیف بوده است (Li et al., 2022) و رشد این محصول از کمبود آب و تنفس گرمایی تأثیر پذیرفته که هم‌زمان با خشکسالی بسیار شدید برآورد شده توسط SPI و SPEI بوده است، اما سال ۸۵ تا ۸۸ (۲۰۰۶ تا ۲۰۰۹) و (۹۱/۹۰ و ۲۰۱۲/۲۰۱۱) (Uygan et al., 2021) کارکرد بسیار خوبی داشته است. چون این محصول در اراضی آبی کشت می‌شود. در فصل کاشت نسبت به کمبود آب He et al. (2020) عملکرد چندرقند دارای روند روبروی رشد و افزایشی بوده که این روند به علت برداشت بیش از حد مجاز آب Olivera-Guerra et al., 2022 (به خصوص آب‌های زیرزمینی با حفر چاه‌های غیرمجاز بوجود آمده است. به همین دلیل کاشت فراورده‌های پرآخواه در شرایط اقلیمی نیمه‌خشک و کمبود بارندگی در دوره رشد) وجود ماقوم به خشکی، تنوع محصول و ترک زمین‌های آیش (Aliyar et al., 2022) بهره‌جوییم؛ اما به‌طورکلی روند کاهش شاخص‌های خشکسالی با آمار فعالیت کشاورزی مطابقت داشت (Wu et al., 2022).

نتیجه‌گیری

خشکسالی به دلیل محدودیت در انتخاب محصول، باعث دگرگونی، ثمردهی کم یا ازبین‌رفتن برخی از گونه‌های گیاهی بومی منطقه در اثر کم‌آبی و تغییر مواد معدنی و آلی خاک می‌شود که برای بهره‌دهی بیشتر تغییر ژنتیکی داده می‌شوند و منحصر بفرد بودنشان ملغی می‌شود. طی چند سال اخیر؛ کشت سیب‌زمینی و چندرقند که محصولات پرآخواه بوده و خشکی خاک را تشدید می‌کنند. در کرمانشاه رواج زیادی پیدا کرده است و کشاورزان برای بهره‌کشی بیشتر از زمین از کود به مقدار زیادی استفاده می‌کنند. خشکسالی طولانی‌مدت و عدم آبیاری بهموقع که باعث بالا رفتن دمای سطح زمین در آن نواحی شده نیز از میزان قند چندر می‌کاهد. همه این عوامل در کنار هم وضعیت ناگواری را برای کشاورزی رقم می‌زنند که یکی از راه‌های تلطیف این بی‌تدبیری‌ها آن است که نوع فرآورده‌های کشاورزی و الگوهای آبیاری بنا به میزان رطوبت و دمای زمین تغییر پیدا کند و محصولات و روشن‌های کم آخواه انتخاب شوند. در نتایج کلی خشکسالی در تمام طول دوره مطالعه در رده‌های متفاوت وجود داشته که این خشکسالی همراه با افزایش برداشت آب برای مصارف کشاورزی همراه بوده است. از طرفی چون ساقه ثبت داده‌های بارندگی بیشتر از ۱۰۰ سال نیست مناسب‌تر است پیشنهاد می‌گردد برای پی‌بردن به عواملی که تاکنون از چشم پژوهشگران دورمانده از

- Huang J. 2022. Soil moisture as an essential component for delineating and forecasting agricultural rather than meteorological drought. *Remote Sensing of Environment.* 269, 112833. <https://doi.org/10.1016/j.rse.2021.112833>
- Cheng, F.Y. and Chen, Y. 2018. Variations in soil moisture and their impact on land-air interactions during a 6month drought period in Taiwan, *Geoscience Letters.* 26(5):26-31.
- Dubinin, V., Stavi, I., Svoray, T., Dorman, M. and Yizhaq, H. 2021. Hillslope geodiversity improves the resistance of shrubs to prolonged droughts in semiarid ecosystems. *Journal of Arid Environments.* 188, 104462.
- Ebmeyer, H., Fiedler-Wiechers, K.M. and Hoffmann, C. 2021. Drought tolerance of sugar beet—Evaluation of genotypic differences in yield potential and yield stability under varying environmental conditions. *Agronomy.* 262621, 521
- Alsaady, W. and Mohammed, R. 2021. Detecting of climatic drought by combination geo-information system and remote sensing in semi-arid zones: A case study. *Materials Today: Proceedings.* 57(6).
- Geng, G., Yang, R. and Liu, L. 2022. Downscaled solar-induced chlorophyll fluorescence has great potential for monitoring the response of vegetation to drought in the Yellow River Basin, China: Insights from an extreme event. *Ecological Indicators.* 13, 108801. <https://doi.org/10.1016/j.ecolind.2022.108801>
- Gong, P., Wang, J., Le, Y., Chao Zhao, Y., Yuan Zhao, Y., Liang, L., Guo Niu, Z. and et al. 2013. Finer resolution observation and monitoring of global land cover: First mapping results with Landsat TM and ETM+ data. *International Journal of Remote Sensing.* 34 (7): 2607-2654.
- Guha, S., Govil, H., Gill, N. and Dey, A. 2021. A long-term seasonal analysis on the relationship between LST and NDBI using Landsat data. *Quaternary International.* 575-576:249-258.
- Hereher, M., Alghmdi, A., Mseddi, K. and El Kenawy, A. 2022. Remote sensing of vegetation prolonged drought at the salt playas of Hail – Saudi Arabia. *The Egyptian Journal of Remote Sensing and Space Science.* 25(1): 135145.
- He, Y., Chen, F., Jia, H., Wang, L., Bondur, V. 2020. Different Drought Legacies of Rain-Fed and Irrigated Croplands in a Typical Russian Agricultural Region. *Remote sensing.* 12, 1700; doi: 10.3390/rs12111700
- Holzman, M.E., Rivas, R. and Piccolo, M.C. 2014. Estimating soil moisture and the relationship with crop yield using surface temperature and vegetation index. *International Journal of Applied Earth Observation and Geoinformation.* 38, 1-62.
- پرآکندگی دما/ پوشش گیاهی و تصاویر مودیس. *فصلنامه سنجش از دور و سامانه اطلاعات جغرافیایی در منابع طبیعی*, ۱۲ (۱): ۳۸-۶۲
- صیدایی، س.ا. و رستمی، ش. ۱۳۹۱. *سنجش تأثیرات اقتصادی و اجتماعی - فرهنگی توسعه گردشگری (نمونه موردي شهر کرمانشاه)*. برنامه‌ریزی فضایی. ۲ (۳): ۷-۲۷
- کوه بنایی، ح.، یزدانی، م. ۱۳۹۷. *پهنگندی رطوبت خاک سطحی با استفاده از تصاویر لندست ۸ (مطالعه موردی: حومه شهر سمنان)*. *جغرافیا و پایداری محیط.* ۸ (۳)، ۶۵-۷۷
- لوییم، ن.، اکرم، ا.، باقری، ن.، حاجی احمد، ع. ۱۳۹۸. *ازیایی چند شاخص طیفی برای برآورد عملکرد کلزا با استفاده از تصاویر سنجنده ستینیل ۲*. *نشریه ماشین‌های کشاورزی.* ۱۱ (۲): ۴۶۴-۴۴۷
- نخعی نژاد فرد، س.، غلامی، ح.، اکبری، د.، تلفر، م. و رضایی، م. ۱۳۹۸. *ازیایی الگوریتم‌های مختلف برای یکپارچه‌سازی تصاویر در تهییه نقشه‌های شاخص‌های گیاهی. اطلاعات جغرافیایی سپهر.* ۲۸ (۱۱۲): ۱۹۹-۲۱۷
- Afshar, M.H., Bulut, B., Duzenli, E., Amjad, M. and Yilmaz, M.T. 2022. Global spatiotemporal consistency between meteorological and soil moisture drought indices. *Agricultural and Forest Meteorology.* 316, 108848. <https://doi.org/10.1016/j.agrformet.2022.108848>
- Aliyar, Q., Zulfiqar, F., Datta, A., KMKuwornu, J. and Shrestha, S. 2022. Drought perception and field-level adaptation strategies of farming households in drought-prone areas of Afghanistan. *International Journal of Disaster Risk Reduction.* 102862. <https://doi.org/10.1016/j.ijdrr.2022.102862>
- Atif, R.M., Almazroui, M., Saeed, S., Abid, M.A., Islam, M.N. and Ismail, M. 2020. Extreme precipitation events over Saudi Arabia during the wet season and their associated teleconnections. *Atmospheric Research.* 231, 104655.
- Barneston, J., S.Phinn, S. and Scarth, P. 2019. Mapping woody vegetation cover across Australia's arid rangelands Utilising a machine-learning classification and low-cost Remotely Piloted Aircraft System. *International Journal of Applied Earth Observation and Geoinformation.* 83:101909.
- Bera, B., KumarShit, P., Sengupta, N., Saha, S. and Bhattacharjee S. 2021. Trends and variability of drought in the extended part of Chhota Nagpur plateau (Singbhum Protocontinent), India applying SPI and SPEI indices. *Environmental Challenges.* 5, 100310.
- Chatterjee, S.R., Desai, A., Zhu, J.A., Townsend, P. and

- RUSLE models in Godavari middle sub-basin, India. *Geoscience Frontiers.* 13(2): 101312.
- Mehravar, S., Amani, M., Moghimi, A., Dadras, F., Javan, D., Samadzadegan, F. and et al. 2021. Temperature-Vegetationsoil Moisture-Precipitation Drought Index (TVMEDI); 21-year drought monitoring in Iran using satellite imagery within Google Earth Engine. *Advances in Space Research.* 68(11):4573-4593.
- McKee, T.B., Doesken, N.J. and Kleist, J. 1993. The Relationship of Drought Frequency and Duration to Time Scale, 8th Conference on Applied Climatology, Anaheim, CA, American Meteorological Society. 179-184.
- Miller, D., Alonso, M.K., Meerdink, S.A., Allen, M.L., Tague, C.A., Roberts, D.P. and McFadden, J. 2022. Seasonal and interannual drought responses of vegetation in a California urbanized area measured using complementary remote sensing indices. *ISPRS Journal of Photogrammetry and Remote Sensing.* 183: 178-195.
- Oroud, I. and C.Balling, R. 2021. The utility of combining optical and thermal images in monitoring agricultural drought in semiarid mediterranean environments. *Journal of Arid Environments.* 189:104499.
- Namjoyan, S., Rajabi, A., Sorooshzadeh, A. and AghaAlikhani, M. 2021. The potential of tebuconazole for mitigating oxidative stress caused by limited irrigation and improving sugar yield and root quality traits in sugar beet. *Plant Physiology and Biochemistry.* 162:547-555.
- Olivera-Guerra, L., Quintanilla, M., Moletto-Lobos, I., Pichuante, E., Zamorano-Elgueta, C. and Mattar, C. 2022. Water dynamics over a Western Patagonian watershed: Land surface changes and human factors. *Science of the Total Environment.* 804, 150221. <https://doi.org/10.1016/j.scitotenv.2021.150221>
- Rouse, J.W., Haas, R.H., Schell, J.A. and Deering, D.W. 1974. Monitoring vegetation systems in the Great Plains with ERTS. Third Earth Resources Technology Satellite (ERTS) Symposium. NASA Goddard Space Flight Center3d ERTS-1 Symp. 1, SP-351: 309-317. Washington D. C. USA.
- Sandholt, I., Rasmussen, K. and Andersen, J. 2002. A simple interpretation of the surface temperature/vegetation index space for assessment of surface moisture status. *Remote Sensing of Environ.* 79 (2–) 3, 213–422.
- Samiul Islam, S.M., Ashraful Islam, K.M. and Mullick, R.A. 2022. Drought hot spot analysis using local indicators of spatial autocorrelation: An experience from Bangladesh. *Environmental Challenges.* 6. 100410. <https://doi.org/10.1016/j.envc.2021.100410>
- Observation and Geoinformation. 28: 181-291.
- Hu, X., Ren, H., Tansey, K., Zheng, Y., Ghen, D., Liu, X. and Yan, L. 2019. Agricultural drought monitoring using European Space Agency Sentinel 3A land surface temperature and normalized difference vegetation index imageries. *Agricultural and Forest Meteorology.* 279, 107707.
- Javed, T., Li, Y., Rashid, S., Li, F., Hu, Q., Feng, H. and et al. 2021. Performance and relationship of four different agricultural drought indices for drought monitoring in China's mainland using remote sensing data. *Science of the Total Environment.* 759: 143530.
- Jiang, T., Su, X.P., Singh, V. and Zhang, G. 2022. Spatio-temporal pattern of ecological droughts and their impacts on health of vegetation in Northwestern China. *Journal of Environmental Management.* 305, 114356. <https://doi.org/10.1016/j.jenvman.2021.114356>
- Ji, Z., Pan, Y. and Li, N. 2021. Integrating the temperature vegetation dryness index and meteorology parameters to dynamically predict crop yield with fixed date intervals using an integral regression model. *Ecological Modelling.* 445: 10965.
- Peterson, E.D., Jones, C.C., Sandmeier, F.P., Arellano Rivas, A. A., Back, C., Canney, A. and et al. 2021. Drought influences biodiversity in a semi-arid shortgrass prairie in southeastern Colorado. *Journal of Arid Environments.* 195: 104633.
- Karniel, A., Agam, N.T., Pinker, R., Anderson, M.L., Imhoff, M.G., Gutman, G. and et al. 2010. Use of NDVI and Land Surface Temperature for Drought Assessment: Merits and Limitations. *Journal of Climate.* 23(3): 618-633.
- Languille, F., Gaudel, A., Vidal, B., Binet, R., Poulin, V. and Trémus, T. 2017. Sentinel-2B image quality commissioning phase results and Sentinel2 constellation performances. "Con Proc. SPIE. Digital Library, Sensors, Systems, and Next-Generation Satellites XXI Location: Warsaw, POLAND.
- Li, L., Qian, R., Liu, W. and Wang, W.A. 2022. Biederman J, Zhang Bet al Drought timing influences the sensitivity of a semiarid grassland to drought. *Geoderma.* 412(15):115714.
- Liang, L., Zhao, S., Qin, Z., He, K., Chen, C., Luo, C., Luo, Y. and Zhou, X. 2014. Drought Change Trend Using MODIS TVDI and Its Relationship with Climate Factors in China from 2001 to 2010. *Journal of Integrative Agriculture.* 13(7): 1501-1508.
- Masroor, m., Sajjad, H., Rehman, S., Singh, R., Rahaman, A.H., Sahana, M., Ahmed, R. and Avtar, R. 2022. Analysing the relationship between drought and soil erosion using vegetation health index and

- intensification and recovery on the hydrological drought internal propagation. *Weather and Climate Extremes.* 36:10043. <https://doi.org/10.1016/j.wace.2022.100430>
- Xie, F. and Fan, H. 2021. Deriving drought indices from MODIS vegetation indices (NDVI/EVI) and Land Surface Temperature (LST): Is data reconstruction necessary. *International Journal of Applied Earth Observation and Geoinformation.* 101, 102352. <https://doi.org/10.1016/j.jag.2021.102352>
- Zhang, H., Ding, J., Wang, Y., Yang Zhou, D. and Zhu, Q. 2021. Investigation about the correlation and propagation among meteorological, agricultural and groundwater droughts over humid and arid/semi-arid basins in China. *Journal of Hydrology.* 603(B): 127007.
- Zhang, J., Yang, J., An, P., Ren, W., Pan, Z., Dong, Z. and et al. 2017. Enhancing soil drought Enhancing soil drought induced by climate change and agricultural practices: Observational and experimental evidence from the semiarid area of northern China. *Agricultural and Forest Meteorology.* 243: 74-83.
- Zhang, L., Jiao, W., Zhang, H., Huang, C. and Tong, Q. 2017. Studying drought phenomena in the Continental United States in 2011 and 2012 using various drought indices. *Remote Sensing of Environment.* 190: 96-106.
- Zeng, J., Zhang, R., Qu, Y., A.Bento, V., Zhou, T., Lin, Y. and et al. 2022. Improving the drought monitoring capability of VHI at the global scale via ensemble indices for various vegetation types from 2001 to 2018.
- Weather and Climate Extremes. 35: 100412. <https://doi.org/10.1016/j.wace.2022.100412>
- Zheng, J., Zhang, R., Lin, Y., Wu, X., Tang, J., Guo, P. and et al. 2020. Drought frequency characteristics of China, 1981-2019, based on the vegetation health index. *Climate Research.* 81:131-147.
- Soer, G.J.R. 1980. Estimation of regional evapotranspiration and soil moisture conditions using remotely sensed crop surface temperatures. *Remote Sens. Environ.* 9 (1): 27-45.
- Uygan, D., Cetin, O., Alveroglu, V. and Sofuoğlu, A. 2021. Improvement of water saving and economic productivity based on quotation with sugar content of sugar beet using linear move sprinkler irrigation. *Agricultural Water Management.* 255: 106989.
- Vicente-Serrano, S.M., Beguería, S.I. and López-Moreno, J. 2010. A multiscalar drought index sensitive to global warming: the standardized precipitation evapotranspiration index. *Journal of Climate.* 23(7): 1696-1718.
- Wang, Q., Qi, J., Wu, H., Zeng, Y., Shui, W., Zeng, J. and Zhang, X. 2020. Freeze-Thaw cycle representation alters response of watershed hydrology to future climate change. *CATENA.* 195: 104767.
- Wang, T., Tu, X., Singh, V., Chen, X., Lin, K., Lai, R. and Zhou, Z. 2022. Socioeconomic drought analysis by standardized water supply and demand index under changing environment. *Journal of Cleaner Production.* 347:131248. <https://doi.org/10.1016/j.jclepro.2022.131248>
- Weng, Q., Lu, D. and Schubring, J. 2004. Estimation of land surface temperature–vegetation abundance relationship for urban heat island studies. *Rem. Sens. Environ.* 89 (4):467–483.
- Wolteji, B.N., Badhadha, S.T., Gebre, S.L., Alemayehu, E. and Gemedo, DO. 2022. Multiple Indices Based Agricultural Droughts Assessment in Rift Valley Region of Ethiopia. *Environmental Challenges.* 7: 100488. <https://doi.org/10.1016/j.envc.2022.100488>
- Wu, J.J., Geng, G.P., Zhou, H.K., Liu, J.H., Wang, Q.F. and Yang, J.H. 2017. Global vulnerability to agricultural drought and its spatial characteristics. *Journal of Petroleum Exploration and Production Technology.* 60: 910–029.
- Wu, J., Mallakpour, V.I., Yuan, X., Ya, H., Wang, G. and Chen, X. 2022. Impact of the false

Multi-indicator Monitoring of Agricultural Drought in Kermanshah Township

F. Imani Buzhani,¹ M. Kiani Sadr,*² S. Sobhan Ardakani,³ B. Lorestani,⁴ M. Cheraghi⁵

Received: May.15, 2022

Accepted: Jun.21, 2022

Abstract

It is necessary to study the spatial-temporal trend of drought, which affects agriculture and food supply with its slow process and Multiple generating factors; Therefore, the present study was conducted to assess agricultural drought in Kermanshah using satellite indicators (Average images of Sentinel2 and Landsat8 satellites during the growing season) and terrestrial (using rainfall and temperature data from 1990 to 2020). The results of terrestrial indicators the absence of drought in 2002, 2007, 2018 and 2019. The 12-month and 24-month SPEI of 2001 and the 24-month SPI estimated 1999 in the category of very severe drought. Satellite indicators in 2015 and 2017 increased the Land Surface Temperature and in 2019 (increasing soil surface moisture and Temperature Vegetation Dryness) and 2020 estimated vegetation density. The decrease in sugar beet yield in the years 1999 to 2003 and the increase in the years 2006 to 2009, 2012/2011 and 2021/2020 confirm the high results. In the north, northeastern and eastern regions; High temperature, low rainfall and low humidity have dried the soil and negatively affected the growth, health and density of plants, but the southern region has always been humid. The presence of drought during the study period and Sentinel II images were more sensitive to vegetation indicators.

Keywords: Agriculture, Drought, Kermanshah, Landsat8, Sentinel II

1- Ph.D Student, Department of the Environment, College of Basic Sciences, Hamedan Branch, Islamic Azad University, Hamedan, Iran

2- Assistant Professor, Department of the Environment, College of Basic Sciences, Hamedan Branch, Islamic Azad University, Hamedan, Iran

3- Professor, Department of the Environment, College of Basic Sciences, Hamedan Branch, Islamic Azad University, Hamedan, Iran

4- Associate Professor, Department of the Environment, College of Basic Sciences, Hamedan Branch, Islamic Azad University, Hamedan, Iran

5- Associate Professor, Department of the Environment, College of Basic Sciences, Hamedan Branch, Islamic Azad University, Hamedan, Iran

(*Corresponding Author Email: mkianysadr@iauh.ac.ir*)